

①

MP33: ONDES ACOUSTIQUES.

Kévin PETITOT.
(02/04/09).

* Bibliographie:

- + Charmot, montages de physique.
- + Dufait, expériences de Cl: CAPES DE SCIENCES PHYSIQUES.
- + Quaranta, tome 1, la mécanique.
- + Faraut - Renault, mécanique des fluides et ondes mécaniques.

* Rapport de stage 2008:

Il est conseillé de ne pas se limiter à la propagation dans l'air, où à une gamme de fréquences restreinte aux fréquences auditives.

* Plan:

I) Caractéristiques ondulatoires:

↳ interférences (trombone de Koenig) .

II) Caractéristiques d'une onde acoustique:

① propagation dans un milieu matériel:

a) célérité des ondes acoustiques dans l'eau.

b) célérité des ondes acoustiques dans un bloc d'aluminium

② dépendance de la célérité avec la température.

* Introduction:

→ déf d'une onde acoustique: onde sonore correspondant à la propagation d'une suspension ⇒ onde de pression, qui est généralement longitudinale*.
Elle a besoin d'un milieu matériel pour se propager (ex: liquide, slide).

→ différences avec une onde électromagnétique: transversale et n'a pas besoin d'un milieu matériel pour se propager → cas d'une onde EM dans le vide par exemple.

→ exp qualitative: "je parle" → propagation d'une onde sonore dans l'air qui se dirige vers les oreilles de mes collègues ⇒ ils m'entendent, c'est fau mon!!!



→ objectifs: mise en évidence des propriétés:

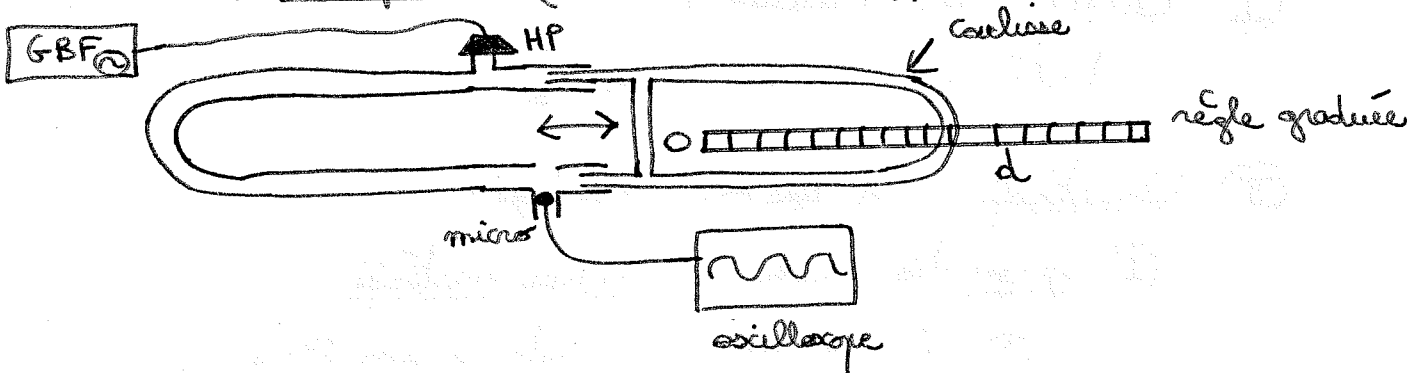
(* ondulatoires: interférences.

(* ondes sonores: propagation dans un milieu matériel et dépendance de la vitesse avec la température.

(* Remarque: dans les solides, les ondes acoustiques portent le nom d'ondes élastiques, et sont composées d'une onde transversale (craielement) et d'une onde longitudinale (compression)) → (f. II ① b)).

I) Caractéristiques ondulatoires: (Quanta, défaut):

↳ interférences (troncne de Koenig):

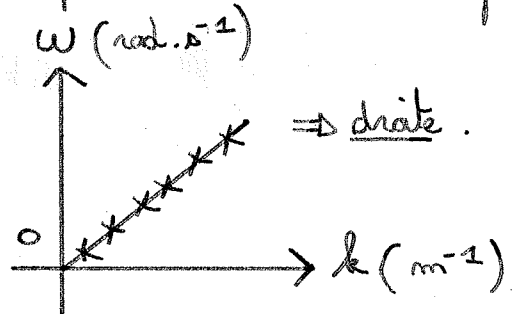


. on règle la fréquence f du son entre 500 et 1500 Hz (afin d'obtenir une interférence mesurable), puis on déplace la caisse du troncne ⇒ modification de la différence de marche entre les 2 trajets empruntés par l'onde. Entre deux maximums (ou minimums) le déplacement est de d , tel que : $\delta = k\lambda = 2d$, avec k l'ordre d'interférence (pair). En effet, le micro étant sensible à la pression, il nous permet de détecter l'interférence entre les 2 ondes. Ainsi : pour $d=0$, $k=0$, puis premier max pour $k=1$ soit $d=\lambda/2$, deuxième maximum pour $k=2$ soit $d=\lambda$, etc.

⇒ Visualisation d'interférences constructives et destructives.

②

- Pour plusieurs fréquences f et donc ω (entre 500 et 1500 Hz), on mesure la longueur d'onde λ associée et on en déduit le pour chaque ω
- on trace sur synchrone la relation de dispersion des ondes acoustiques se propagant dans l'air: $\omega = f(\lambda)$:



- on vérifie bien que l'air est un milieu non dispersif, car la relation de dispersion $\omega = f(\lambda)$ est linéaire.

- le calcul de la pente de cette droite nous permet de remonter à la vitesse de propagation du son dans l'air ($c_{\text{air}} = \underline{\text{vitesse des ondes acoustiques dans l'air}}$), en effet, $\boxed{\omega = c_{\text{air}} \cdot \lambda}$:

$$\Rightarrow \boxed{\text{pente} = c_{\text{air}} = (\quad \pm \quad) \text{ m/s}} \text{ et } \boxed{c_{\text{air}} (\text{tablée}) = 343,3 \text{ m/s}} \text{ à } \boxed{T = 20^\circ \text{C}}.$$

- Calcul d'incertitude:

(cf. Faroux - Renault).

$$\boxed{\frac{\Delta c_{\text{air}}}{c_{\text{air}}} = \frac{\Delta f}{f} + \frac{\Delta \lambda}{\lambda} = \%}.$$

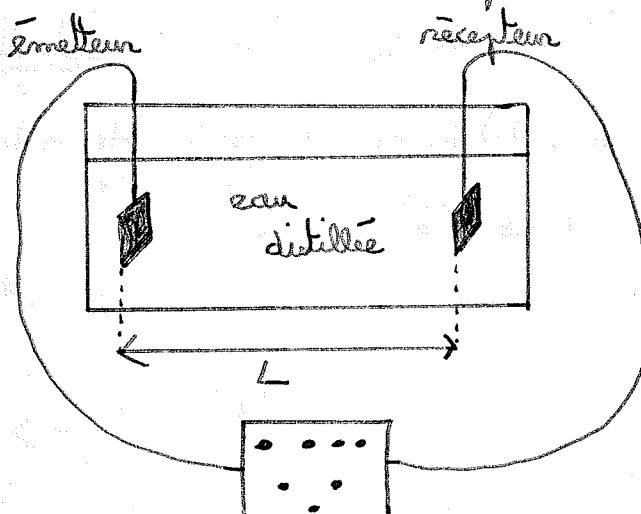
- Remarque: en toute rigueur, le système étant fermé, il se produit aussi des ondes stationnaires (SOS) et un phénomène de résonance, mais le terme le plus important reste l'interférence à 2 ondes. Eventuellement on peut modifier la fréquence pour avoir un phénomène bien nul (minimas nuls).

II

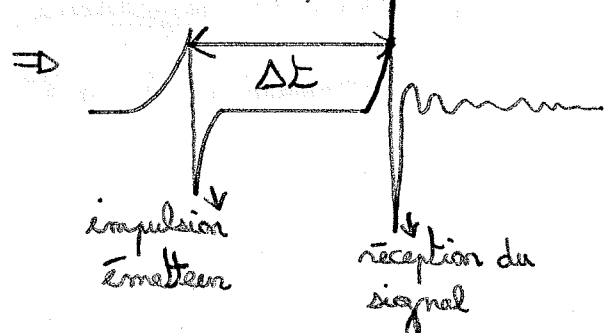
Caractéristiques d'une onde acoustique:

- ① propagation dans un milieu matériel: (Charmont, Quenancia):

a) Célérité des ondes acoustiques dans l'eau: c_{eau} :



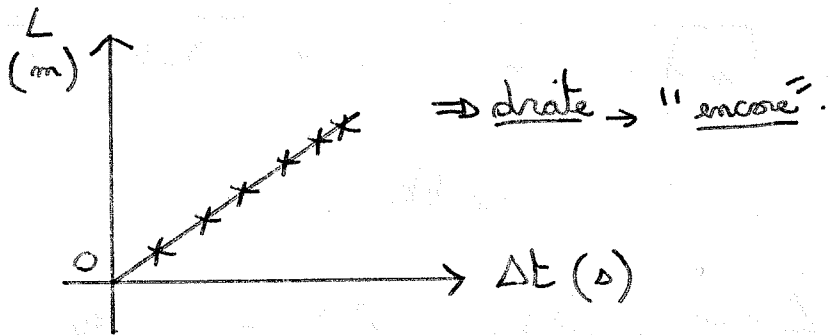
on visualise le signal de sortie
à l'échographie:



↓ générateur d'impulsions (ultrasons).

- Pour plusieurs L (distance émetteur - récepteur), on mesure le Δt associé (temps de parcours de l'émetteur au récepteur dans l'eau).
- on trace sur synchrone la variation de L en fonction de Δt :

$$L = f(\Delta t)$$



- le calcul de la pente de cette droite nous permet de remonter à la vitesse de propagation du son dans l'eau (c_{eau}), en effet, on a:

$$L = c_{\text{eau}} \Delta t \Rightarrow \text{pente} = c_{\text{eau}} = (\quad \pm \quad) \text{ m/s}$$

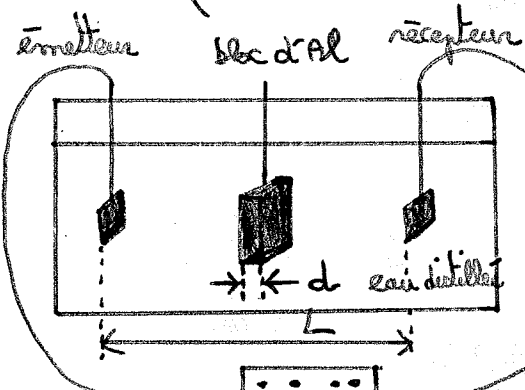
$$c_{\text{eau}} (\text{table}) = 1482 \text{ m/s} \approx T = 20^\circ\text{C} \leftrightarrow (\text{cf. Faroak-Renault}).$$

. Calcul d'inertitudes:

$$\frac{\Delta c_{\text{eau}}}{c_{\text{eau}}} = \frac{\Delta L}{L} + \frac{\Delta(\Delta t)}{\Delta t} = \quad \%.$$

(3)

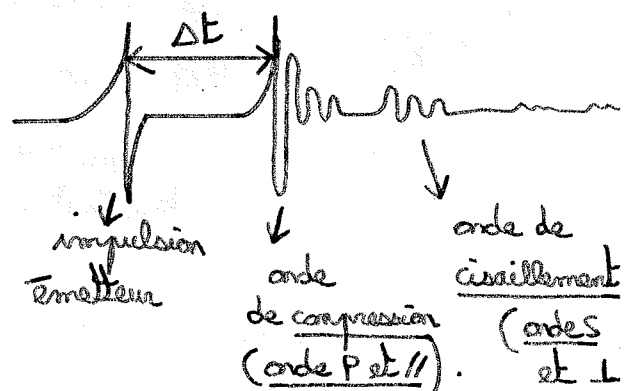
- b) vitesse des ondes acoustiques dans un bloc d'aluminium: $c_{Al//}$:
(on se restreindra au cas longitudinal seulement).



génération d'impulsions.
(ultrasons).

avec $d = 4,06 \text{ cm}$.

on visualise le signal de
série à l'oscilloscope:



- Connaissant Δt , L , d et c_{eau} déterminée précédemment, on peut remonter à $c_{Al//}$, en effet:

$$\Delta t = \frac{L-d}{c_{\text{eau}}} + \frac{d}{c_{Al//}} \Leftrightarrow$$

$$c_{Al//} = \frac{d}{\Delta t + \frac{d-L}{c_{\text{eau}}}}$$

on mesure $\Delta t = \quad \mu\text{s}$ et $L = \quad \text{cm} \Rightarrow$

$$c_{Al//} = \quad \text{m/s} \quad \text{et} \quad c_{Al//} (\text{table}) = 6420 \text{ m/s}.$$



(f. Handbook Physics à la BU Haut)

- Ensuite, on peut en déduire un ODE du module d'Young E de l'aluminium, en effet, on a:

$$E(\text{table}) = 70 \text{ GPa}$$

(f. Handbook Physics à la BU Haut)

$$c_{Al//} = \sqrt{\frac{E}{\rho}}$$

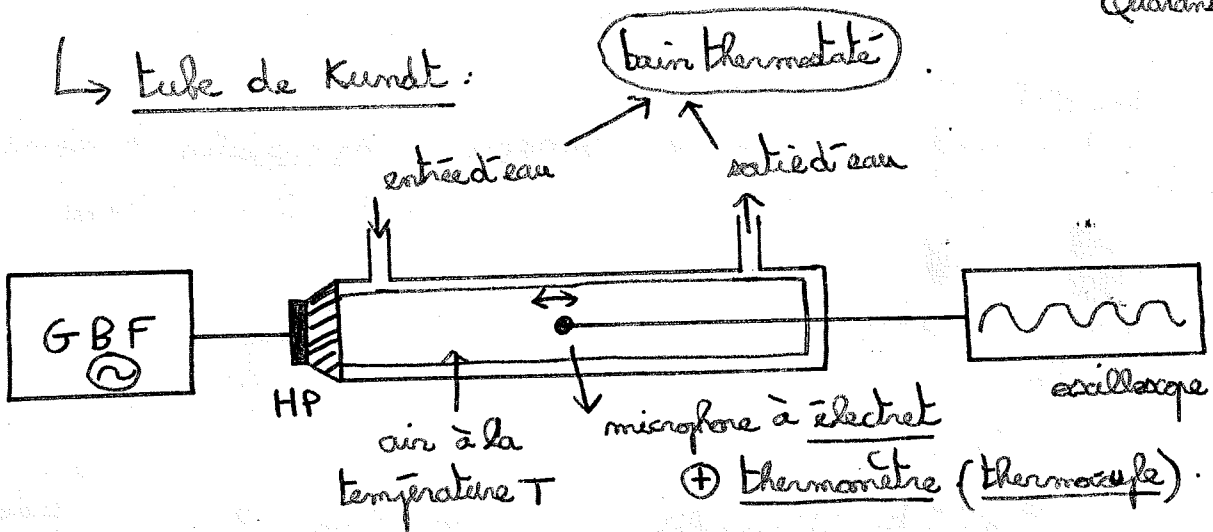
avec $\rho = \text{masse volumique de Al} = 2700 \text{ kg/m}^3 \Leftrightarrow$ (f. Handbook Physics à la BU)

$$\Rightarrow E = \rho c_{Al//}^2 = \quad \text{GPa.}$$

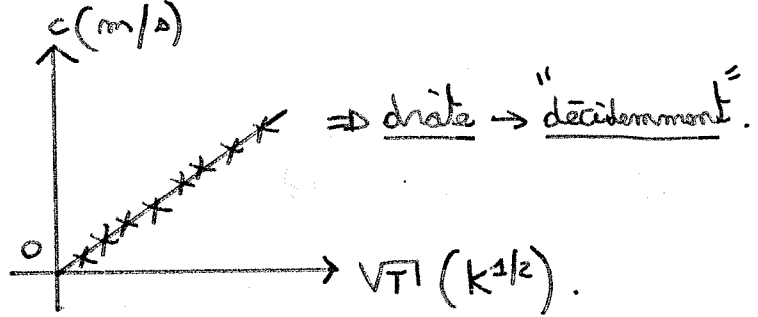
Haut).

② dépendance de la vitesse c avec la température T : (Chapront, Dufuit, Quaranta):

↳ tube de Kundt:



- Câble fermé: il se produit un SOS (système d'ondes stationnaires) caractérisé par des mœufs et des rentres de pression.
- Pour avoir une bonne thermalisation du milieu, on laisse refroidir le tube et on fait les mesures au fur et à mesure.
- On se face à fréquence fixe ($f = 1 \text{ kHz}$), lorsque $T \downarrow$, comme $c = \lambda f$, on a $\lambda \downarrow$ et $c \downarrow$ ($\lambda \propto c \propto \sqrt{T}$).
- Pour plusieurs T, on mesure λ par le repérage des mœufs ou des rentres de pression en déplaçant le microphone à électret dans le tube. Par conséquent, on peut en déduire la valeur de $c = \lambda f$ par chaque température T mesurée.
- On trace ensuite sur synchronie la variation de c en fonction de \sqrt{T} : $c = f(\sqrt{T})$:



(4)

- le calcul de la pente, mais permet de remonter à la masse molaire de l'air M au sein du tube, en effet, on a :

$$c = \sqrt{\frac{8RT}{M}}$$

avec $\gamma = 7/5 = 1,4$ et $R = 8,314 \text{ J/mol/K}$.

(En supposant que l'air dans le tube peut-être considéré comme un G.P diatomique et isentropique).

$$\Rightarrow \text{pente} = \left(\frac{8R}{M} \right)^{1/2} = A = \text{constante} \Rightarrow M = \frac{8R}{A^2} = \left(\frac{8}{A^2} \right) \text{ g/mol}$$

et M (tabulée) = 29 g/mol \Leftrightarrow (cf. Fournier-Renault).

• Calcul d'incertitudes :

$$\frac{\Delta M}{M} = \frac{\Delta \gamma}{\gamma} + \frac{\Delta R}{R} + 2 \frac{\Delta A}{A} = \frac{2 \Delta A}{A} = \% \text{, car}$$

on suppose γ et R fixes (γ et R ne dépendent pas de T)

$$\text{et } \frac{\Delta A}{A} = \frac{\Delta c}{c} + \frac{\Delta T}{2T} = \frac{\Delta f}{f} + \frac{\Delta x}{x} + \frac{\Delta T}{2T} = \%.$$

• Remarque :

La valeur de M tabulée correspond à une composition "standard" de l'air (78% N₂, 21% O₂, 1% Ar). Sur la plage de températures étudiée, les degrés de liberté de vibration des molécules diatomiques N₂ et O₂ ne sont pratiquement pas écartés ("génériques"), ce qui nous permet de prendre $\gamma = 1,4 = 7/5$ et de considérer l'air comme un G.P diatomique.

Concernant l'hypothèse d'évolution isentropique du gaz (hypothèse d'adiabaticité), on peut dire qu'elle est très bien vérifiée à notre fréquence d'étude $1 \text{ GHz} = f$.

En effet, cette hypothèse implique que, lors d'une $1/2$ période d'onde d'ordre $\textcircled{1}$, le transfert thermique d'une zone comprimée, donc à température plus élevée, vers la zone voisine détendue, à température plus basse, soit négligeable.

Or, ces zones sont distantes de $\frac{\lambda}{2} = \frac{c}{2f}$ où f est la fréquence de l'onde.

Par ailleurs, la distance caractéristique de la diffusion thermique à la fréquence f est donnée par $\ell = \sqrt{\frac{D}{f}}$ où D désigne la diffusivité thermique du milieu (m^2/s). Le transfert thermique est donc négligeable si $\ell \ll \lambda/2 \Leftrightarrow f \ll \frac{c^2}{4D}$. (à condition de négliger la diffusion de chaleur transversale)

\Rightarrow C'est donc par les basses fréquences que l'hypothèse d'adiabatique est mieux vérifiée.

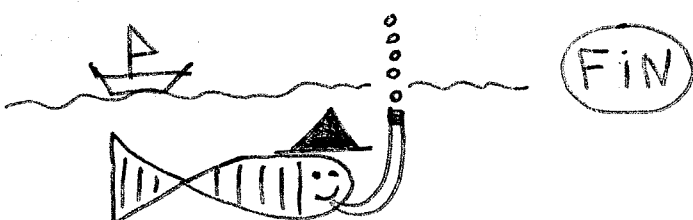
Dans notre étude, par l'an, dans les conditions nouvelles, D est de l'ordre de $2 \times 10^{-5} \text{ m}^2/\text{s}$ avec $c = 340 \text{ m/s}$, on obtient donc la condition $f \ll 1 \text{ MHz}$, comme on travaille à $f = 1.6 \text{ Hz}$ \Rightarrow c'est tout bon!



* Conclusion:

\rightarrow Résumé des points clés du montage.

\rightarrow autres manipulations possibles: effet Doppler, résonance de Helmholtz,



("Applaudissement").